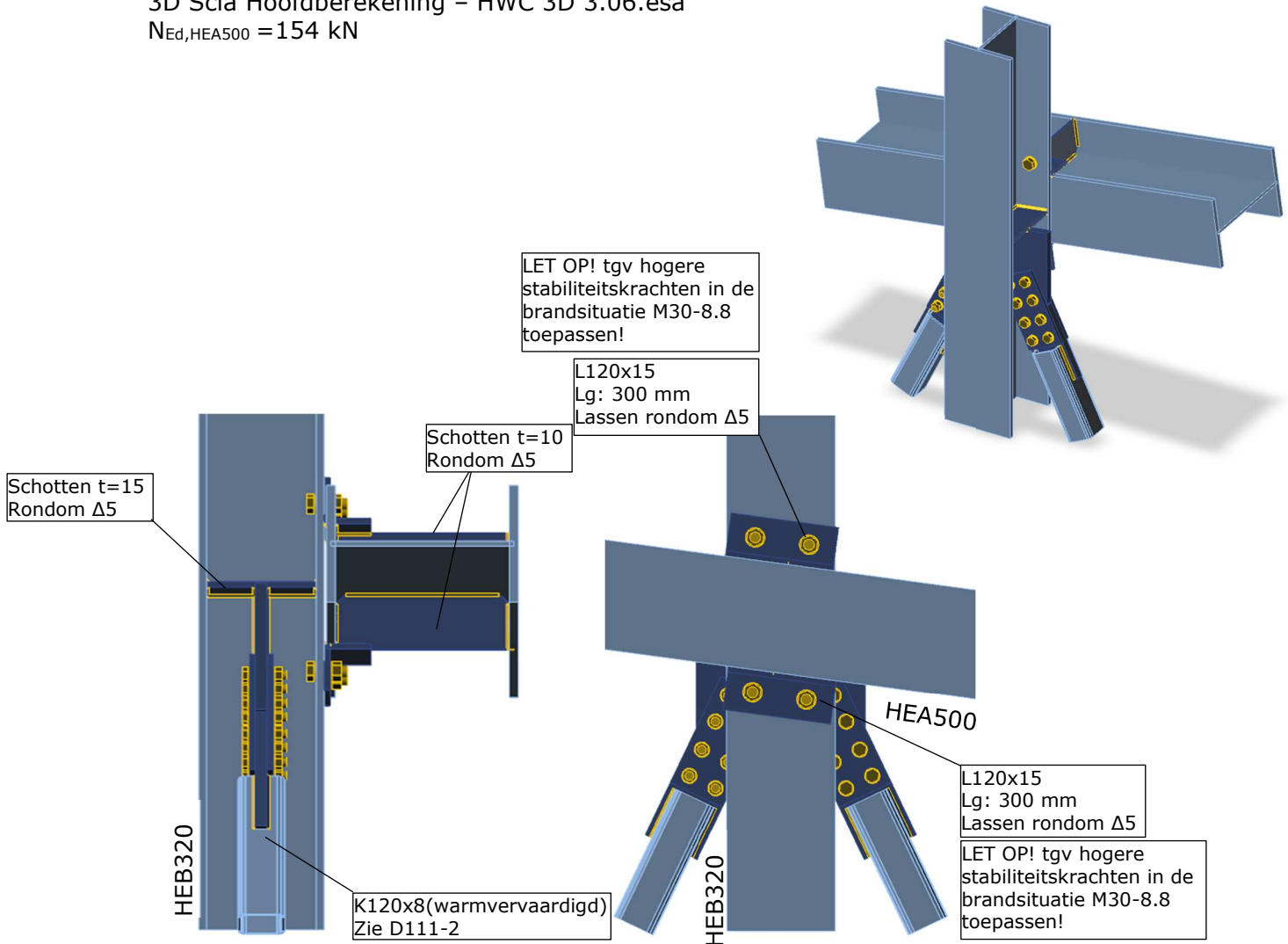


DETAIL:	Ligger HEA500 – Kolom HEM320 Tpv. windverband	BLAD:	D111-1
----------------	--	--------------	---------------

3D Scia Hoofdberekening – HWC 3D 3.06.esa

$N_{Ed,HEA500} = 154 \text{ kN}$



Voor een controle van de stalen onderdelen zie de uitvoer van Idea Statica Connection. Er zijn drie situaties getoetst.

Kracht overdracht tpv windverband. Zie pagina 52/227

$N_{Ed,HEA500} = 154 \text{ kN}$ naar Kolom HEM320

Stabiliteitskracht tbv Brandcombinatie. Zie pagina 196/227

$M_{z,Ed} = 75 \text{ kNm}$

$N_{Ed,HEA500,links} = 54 \text{ kN}$

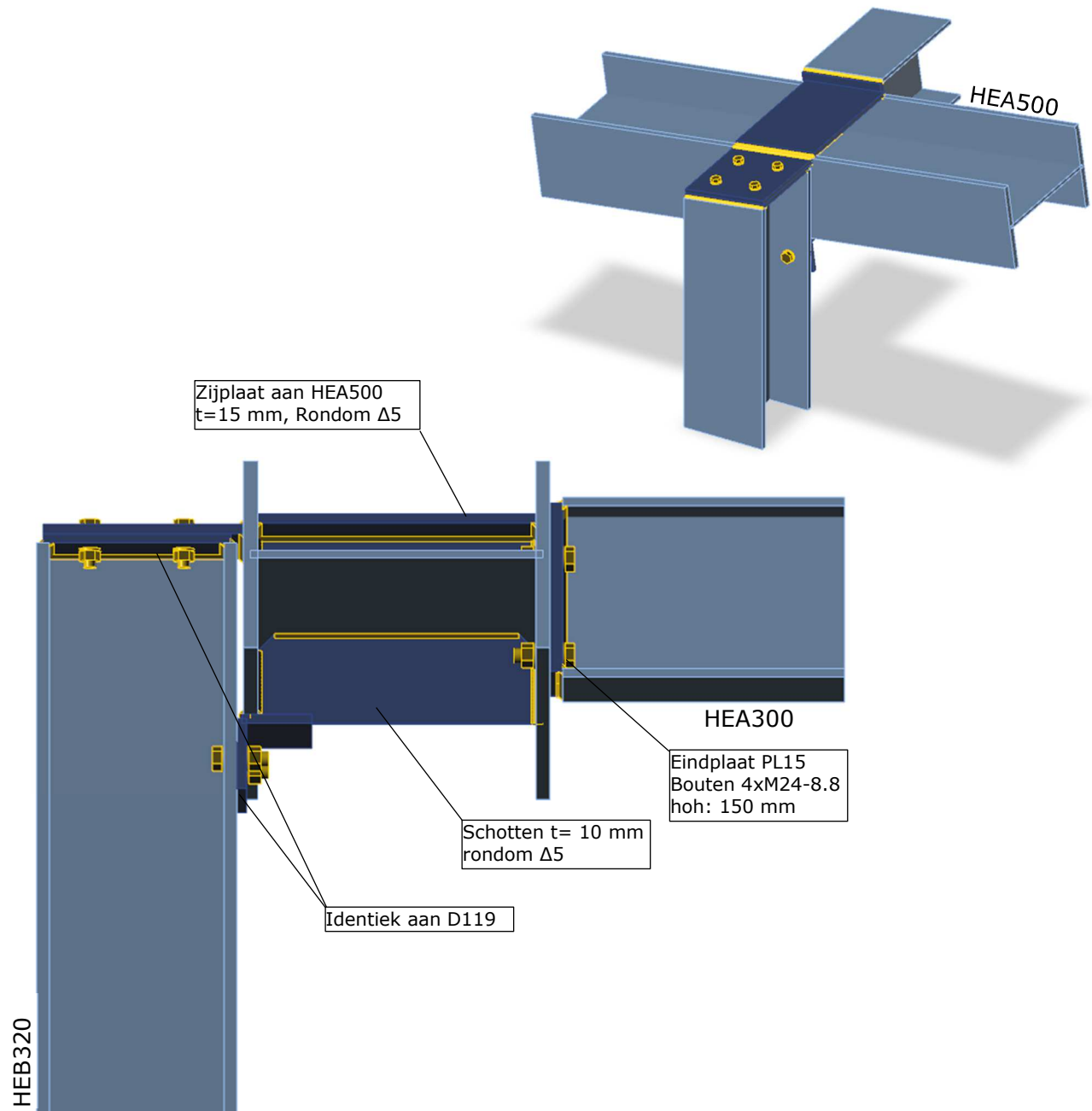
$N_{Ed,HEA500,Rechts} = -309 \text{ kN}$

$N_{Ed,K120x8} = 480/-480 \text{ kN}$

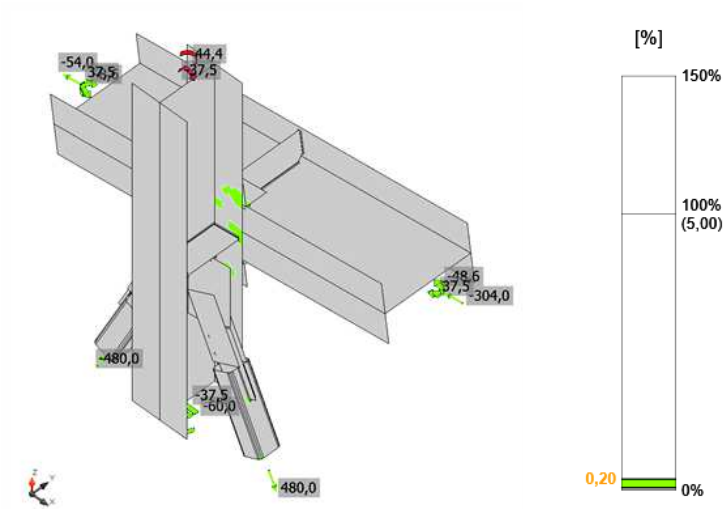
Nikcontrole schoorverbinding. Zie pagina 206/227

DETAIL:	HEA500 – HEB320 Met HEA300	BLAD:	D120-1
----------------	---------------------------------------	--------------	---------------

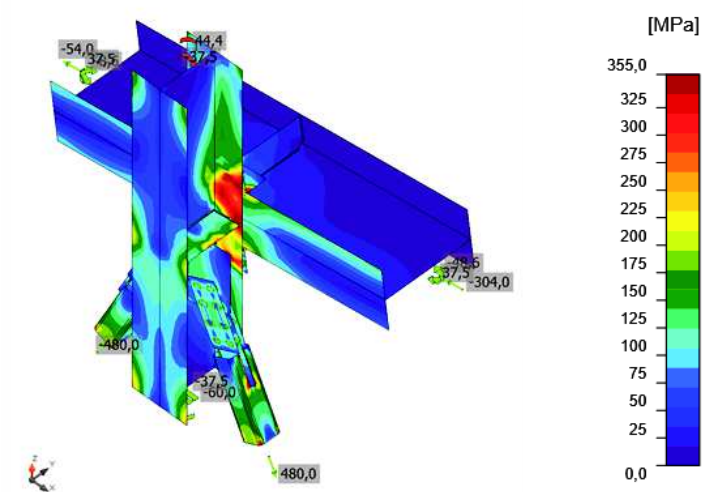
3D Scia Hoofdberekening – HWC 3D 3.06.esa



Voor een controle van de stalen onderdelen zie de uitvoer van Idea Statica Connection.



Rekcontrolo, Stabiliteitskracht tbv Brandcombinatie.



Equivalento spanning, Stabiliteitskracht tbv Brandcombinatie.

Bouten

	Naam	Kwaliteit	Lasten	$F_{t,Ed}$ [kN]	V [kN]	U_t [%]	$F_{b,Rd}$ [kN]	U_{ts} [%]	U_{ts} [%]	Status
	B1	M30 8.8 - 1	Stabiliteitskracht tbv Brandcombinatie.	120,6	146,1	37,3	342,9	67,8	94,5	Oké
	B2	M30 8.8 - 1	Stabiliteitskracht tbv Brandcombinatie.	46,1	188,0	14,3	441,0	87,3	97,4	Oké
	B3	M30 8.8 - 1	Stabiliteitskracht tbv Brandcombinatie.	42,3	51,2	13,1	250,6	23,8	33,1	Oké
	B4	M30 8.8 - 1	Stabiliteitskracht tbv Brandcombinatie.	152,9	45,4	47,3	277,7	21,1	54,9	Oké
	B5	M24 8.8 - 2	Stabiliteitskracht tbv Brandcombinatie.	4,2	60,4	2,1	324,2	44,6	46,0	Oké
	B6	M24 8.8 - 2	Stabiliteitskracht tbv Brandcombinatie.	19,1	59,8	9,4	178,7	44,1	50,8	Oké
	B7	M24 8.8 - 2	Stabiliteitskracht tbv Brandcombinatie.	4,2	60,5	2,1	324,2	44,6	46,1	Oké
	B8	M24 8.8 - 2	Stabiliteitskracht tbv Brandcombinatie.	19,1	59,8	9,4	178,7	44,1	50,9	Oké
	B9	M24 8.8 - 2	Stabiliteitskracht tbv Brandcombinatie.	4,4	60,5	2,2	279,0	44,6	46,2	Oké
	B10	M24 8.8 - 2	Stabiliteitskracht tbv Brandcombinatie.	18,8	60,0	9,3	178,7	44,3	50,9	Oké
	B11	M24 8.8 - 2	Stabiliteitskracht tbv Brandcombinatie.	4,1	60,8	2,0	278,9	44,9	46,3	Oké
	B12	M24 8.8 - 2	Stabiliteitskracht tbv Brandcombinatie.	18,8	59,6	9,2	178,7	44,0	50,6	Oké
	B13	M24 8.8 - 2	Stabiliteitskracht tbv Brandcombinatie.	13,3	59,5	6,6	456,1	43,9	48,6	Oké
	B14	M24 8.8 - 2	Stabiliteitskracht tbv Brandcombinatie.	4,9	60,5	2,4	273,6	44,7	46,4	Oké
	B15	M24 8.8 - 2	Stabiliteitskracht tbv Brandcombinatie.	13,3	59,5	6,6	456,1	43,9	48,6	Oké
	B16	M24 8.8 - 2	Stabiliteitskracht tbv Brandcombinatie.	4,9	60,6	2,4	273,6	44,7	46,4	Oké
	B17	M24 8.8 - 2	Stabiliteitskracht tbv Brandcombinatie.	13,4	60,2	6,6	456,1	44,4	49,1	Oké
	B18	M24 8.8 - 2	Stabiliteitskracht tbv Brandcombinatie.	4,9	60,4	2,4	273,6	44,5	46,3	Oké
	B19	M24 8.8 - 2	Stabiliteitskracht tbv Brandcombinatie.	13,2	60,4	6,5	456,1	44,5	49,2	Oké
	B20	M24 8.8 - 2	Stabiliteitskracht tbv Brandcombinatie.	4,5	60,0	2,2	273,6	44,3	45,9	Oké

Ontwerpgegevens

Naam	$F_{t,Rd}$ [kN]	$B_{p,Rd}$ [kN]	$F_{v,Rd}$ [kN]
M30 8.8 - 1	323,1	537,6	215,4
M24 8.8 - 2	203,3	421,2	135,6